

# 不同热处理温度下钙角闪石的 穆斯堡尔谱特征及其晶体化学分析

黄文英、江加济

(武汉地质学院北京研究生部物理教研室)

周珣若、白志民

(武汉地质学院北京研究生部工艺及实验岩石研究室)

角闪石矿物结构复杂，矿物成份也多种多样。不同种属，不同系列角闪石的阳离子分布和占位差别较大。阳离子的类质同象替代比较广泛，其中尤以  $Mg \rightleftharpoons Fe$  的替代最为发育。角闪石矿物的种属类型、结构特征、成份差别和不同成因条件等信息，既可由化学分析法、X射线衍射法来研究，也可以借助各种谱学手段来研究。穆斯堡尔谱学方法能对角闪石阳离子的分布、占位、价态和化学环境等提供必要的参数，从而对角闪石的成份、结构、晶体化学等方面的研究提供一些重要的佐证。

本文对两个钙角闪石的晶体化学特征进行了分析，并通过对不同温度下热处理后样品的穆斯堡尔谱测量，研究其不同温度下铁离子的占位、分布、价态变化及其化学环境随温度变化的关系等，从而了解其晶体化学特点并探讨有关的地质意义。

## 一、钙角闪石的晶体化学及成因特征

本文研究的两个普通角闪石分别采自广东省的麒麟和北京市的花塔。广东麒麟角闪石(以下简称G-1)的寄主岩为碱性玄武质火山角砾岩<sup>[1]</sup>。北京花塔角闪石(以下简称B-1)的寄主岩为角闪正长岩。两个角闪石的化学分析结果，和以24个氧为基础计算的晶体化学式列于表1。

按照Leake (1978)<sup>[2]</sup>有关角闪石的分类原则，G-1、B-1均属钙角闪石族的镁绿钙闪石(Magnesio-Hastingsite)(见图1)，但B-1更富钛( $Ti = 0.4897$ )，接近于钛闪石(当 $Ti > 0.5$ 时为钛闪石)。

两个角闪石的晶体化学、成因特征如下：

1. G-1角闪石中 $Al^{IV}$ 为2.1160、 $Al^{VI}$ 为0.4594；B-1角闪石中 $Al^{IV}$ 为1.9646、 $Al^{VI}$ 为0.0772。G-1的 $Al^{IV}$ 、 $Al^{VI}$ 都比B-1的高。

2.  $Fe^{2+}$ 不仅占据M<sub>1</sub>、M<sub>3</sub>位(C位)，而且还有一部分占据M<sub>4</sub>位(B位)。对G-1，占据M<sub>4</sub>位的 $Fe^{2+}$ 有24.0% (近于四分之一)，B-1占据M<sub>4</sub>位的 $Fe^{2+}$ 有12.7% (约八分之一)。

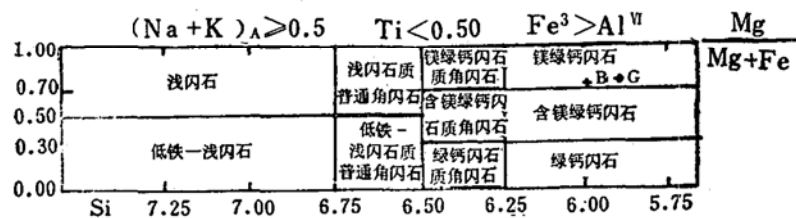
3. G-1的 $Fe^{3+}/(Fe^{3+} + Fe^{2+})$ 比值为0.4188，B-1为0.2681，前者的氧化程度高于后者，这与侵入相→次火山相→火山通道相→喷出相氧化程度渐增的趋势是一致的。

表 1 钙角闪石G-1、B-1的化学成分和阳离子分配表

Table 1. Chemical component and cationic distribution of calcic amphiboles of G-1, B-1.

Wt % 样品	氧化物	SiO <sub>2</sub>	TiO <sub>2</sub>	Al <sub>2</sub> O <sub>3</sub>	Fe <sub>2</sub> O <sub>3</sub>	FeO	MnO	MgO	CaO
G-1		39.78	2.74	14.77	5.62	7.02	0.10	13.37	10.71
B-1		40.68	4.39	11.68	3.63	8.92	0.10	13.69	11.25
Wt % 样品	氧化物	N <sub>2</sub> O	K <sub>2</sub> O	P <sub>2</sub> O <sub>5</sub>	H <sub>2</sub> O <sup>+</sup>	H <sub>2</sub> O <sup>-</sup>	F	-O=F	总计
G-1		2.41	1.57	0.017	1.23	0.25	0.25	-0.11	99.73
B-1		2.34	0.89	0.278	1.43	0.16	0.19	-0.08	99.55
阳离子数 样品	阳离子	T		C					
G-1		Si	Al <sup>IV</sup>	Al <sup>VI</sup>	Ti	Fe <sup>3+</sup>	Fe <sup>2+</sup>	Mg	P
B-1		5.8840	2.1160	0.4594	0.3048	0.6256	0.6597	2.9487	0.0018
G-1		6.0354	1.9646	0.0772	0.4897	0.4052	0.9659	3.0271	0.0349
阳离子数 样品	阳离子	B				A		OH	F
G-1		Fe <sup>2+</sup>	Mn	Ca	Na	Na	K		
B-1		0.2086	0.0124	1.6974	0.0816	0.6100	0.2968	1.4556	0.1173
B-1		0.1400	0.0125	1.7875	0.0600	0.6137	0.1675	1.5879	0.0891

注：化学分析由武汉地质学院北京研究生部化学分析室完成。



4. G-1和B-1角闪石在C位置上的二价阳离子 ( $Fe^{2+} + Mg$ )，分别占C位所有阳离子总数的71.5%和79.9%，表明在C位置上以二价阳离子为主。

5. G-1和B-1的  $Fe^{2+}/(Fe^{2+} + Mg)$  比值分别为0.23和0.27，前者比后者更贫  $Fe^{2+}$ 。

在角闪石成因图解(图2)中投点，G-1和B-1均位于成因图解的钙角闪石区，属于钙角闪石类矿物。

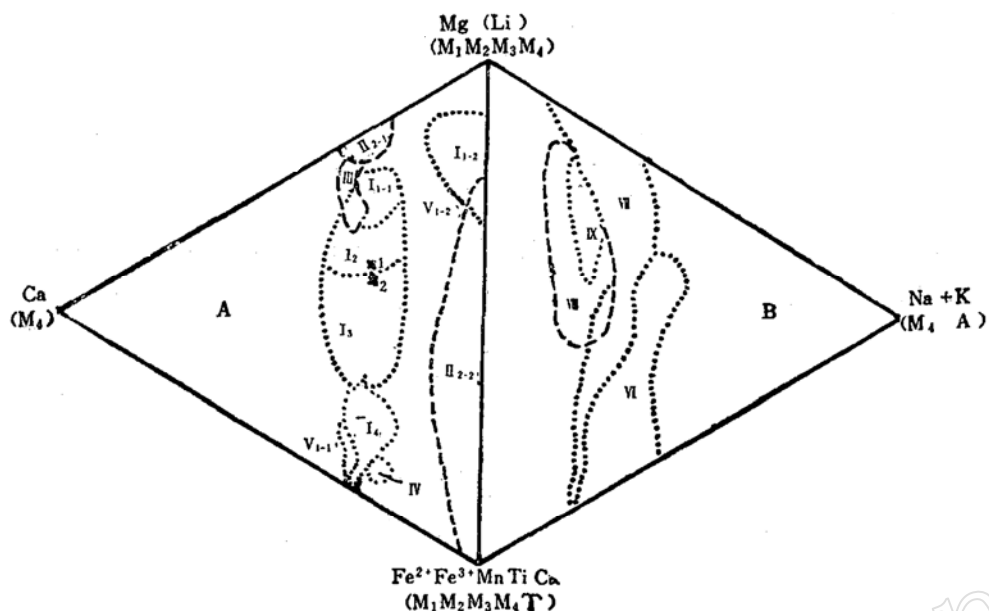
图 2 角闪石成因图解<sup>(3)\*</sup>I<sub>2</sub>.....基性及相应正变质钙角闪石成因区。I<sub>3</sub>.....中基性及相应正变质钙角闪石成因区。

Fig. 2. Genetic diagram of amphiboles.

I<sub>2</sub>.....Genetic region of basic and relative orthometamorphic calcic amphiboles.I<sub>3</sub>.....Genetic region of intermediate-basic and relative orthometamorphic calcic amphiboles.

图 3 G-1、B-1钙角闪石的红外光谱图

Fig. 3. Infrared spectra of calcic amphiboles of G-1 and B-1.

对G和B角闪石还进行了红外光谱测定（见图3），后面将进一步对有关的谱带加以讨论。

\* 最近陈光远等已对此图作了进一步修改。请参考陈光远等著《成因矿物学与找矿矿物学》第八章 1985年重庆出版社。

## 二、角闪石的穆斯堡尔谱特征

### (一) 实验条件

为了研究钙角闪石热处理后成份和结构的变化，对样品进行了穆斯堡尔谱研究。首先，将样品置于高铝坩埚中，在KO-11高温炉中加温，分别在600℃，800℃，1000℃，1200℃下恒温一小时，然后在空气中冷却。加热处理的样品包括600℃的G-2、B-2；800℃的G-3、B-3；1000℃的G-4、B-4和1200℃的G-5、B-5。连同原样（G-1、B-1）分别进行穆斯堡尔谱的测量（在1400℃加热的样品，因已全熔为玻璃，未进行穆斯堡尔谱测量）。在室温条件下，利用FH-1918穆斯堡尔谱仪进行测谱，计数道为512道。放射源为<sup>57</sup>Co(Pd衬底)，强度约15毫居里。以自然铁作速度定标，除有磁谱的“B-5”用0.0847mm/S的道增量外，其它样品的道增量取0.0528mm/S。为减少测量误差，用镜象谱叠合进行计算机拟合，每个谱的数据点为256个，用最小二乘法按劳伦兹线型拟合。拟合过程，对双峰的峰强、线宽作等值限制。

### (二) 谱形特征

各样品所测得穆斯堡尔谱如图4所示。两个原样中Fe<sup>3+</sup>含量占总铁量的约42%和27%，因而谱中Fe<sup>3+</sup>的高速峰明显可见。经过高温处理样品的谱，它们的Fe<sup>3+</sup>双峰随热处理温度的升高而逐渐增强，相应地Fe<sup>2+</sup>双峰逐渐减弱，并且Fe<sup>3+</sup>双峰的四极分裂有逐级稍微扩大的迹象。至1000℃左右，Fe<sup>2+</sup>双峰完全消失。1000℃以后出现新相，谱形也相应发生变化，Fe<sup>3+</sup>双峰四极分裂缩小，而且都向低速方向偏移；对B角闪石，其1200℃的谱还出现六线谱。总的来说，从原样至600℃，谱形变化不大；600℃→800℃，Fe<sup>3+</sup>明显增加、Fe<sup>2+</sup>明显减少，说明在此温度间隔氧化逐渐加剧；至1000℃左右，Fe<sup>2+</sup>完全转化为Fe<sup>3+</sup>。加热温度再升高时，角闪石结构开始“解体”，出现了新相。由X光粉晶衍射法确定的加热过程中的物相变化（见表2）与穆斯堡尔谱的结果大体一致（X光分析由武汉地质学院北京研究生部X光室完成）。

根据两个原样的谱形和钙角闪石的晶体化学特征，并参考有关资料<sup>[4]、[5]、[6]、[7]</sup>，笔者

表 2. G、B 钙角闪石矿物相随热处理温度变化的关系

Table 2. Relation of facies follow the temperatural change of heat treatment  
in calcic amphiboles of G, B specimens.

矿物相 / °C	原样	600	800	1000	1200	1400
角闪石	———	———	———	———	———	———
磁铁矿				———	———	———
斜长石				———	———	———
易变辉石				———	———	———
玻璃质					———	———

——— 为 G 样品，G specimen.

——— 为 B 样品，B specimen.

尝试用三种方案进行穆斯堡尔谱的拟合。第一种方案,按 $\text{Fe}^{2+}$ 可分派到M<sub>1</sub>、M<sub>3</sub>和M<sub>2</sub>位上,以及 $\text{Fe}^{3+}$ 也可分派到M<sub>1</sub>、M<sub>3</sub>和M<sub>2</sub>位置以进行拟合。这种指派既便于了解样品在升温过程的氧化情况,也便于对比 $\text{Fe}^{2+}$ 全部转变为 $\text{Fe}^{3+}$ 时的谱图。

其次,为了研究样品在升温时晶体化学环境变化的影响,又试将 $\text{Fe}^{3+}$ 双峰不具体分派到各个位置上,而按一对双峰拟合,这样可了解穆斯堡尔谱参数随热处理温度升高过程所发生的变化。

第三,从穆斯堡尔谱的谱形和湿化学分析计算的晶体化学式来看,这两个钙角闪石的 $\text{Fe}^{2+}$ 还可能有少量进入M<sub>4</sub>位置。根据Goldman, D. S.<sup>[8]</sup>、<sup>[9]</sup>与Aldridge, L. P.<sup>[10]</sup>等人对钙角闪石的研究,也阐明了M<sub>4</sub>位 $\text{Fe}^{2+}$ 存在的可能。因此,笔者对两个原样进行了 $\text{Fe}^{2+}$ 进入M<sub>4</sub>位的拟合。从拟合结果看,与第一方案相比, $\chi^2$ 值还可进一步下降。这种指派是否符合实际,尚需进一步从多种方法加以证实。但对某些钙角闪石矿物来说, $\text{Fe}^{2+}$ 进入M<sub>4</sub>位的可能性是存在的。所以 $\text{Fe}^{2+}$ 进入M<sub>4</sub>位这种指派,可作为一个问题进行讨论。

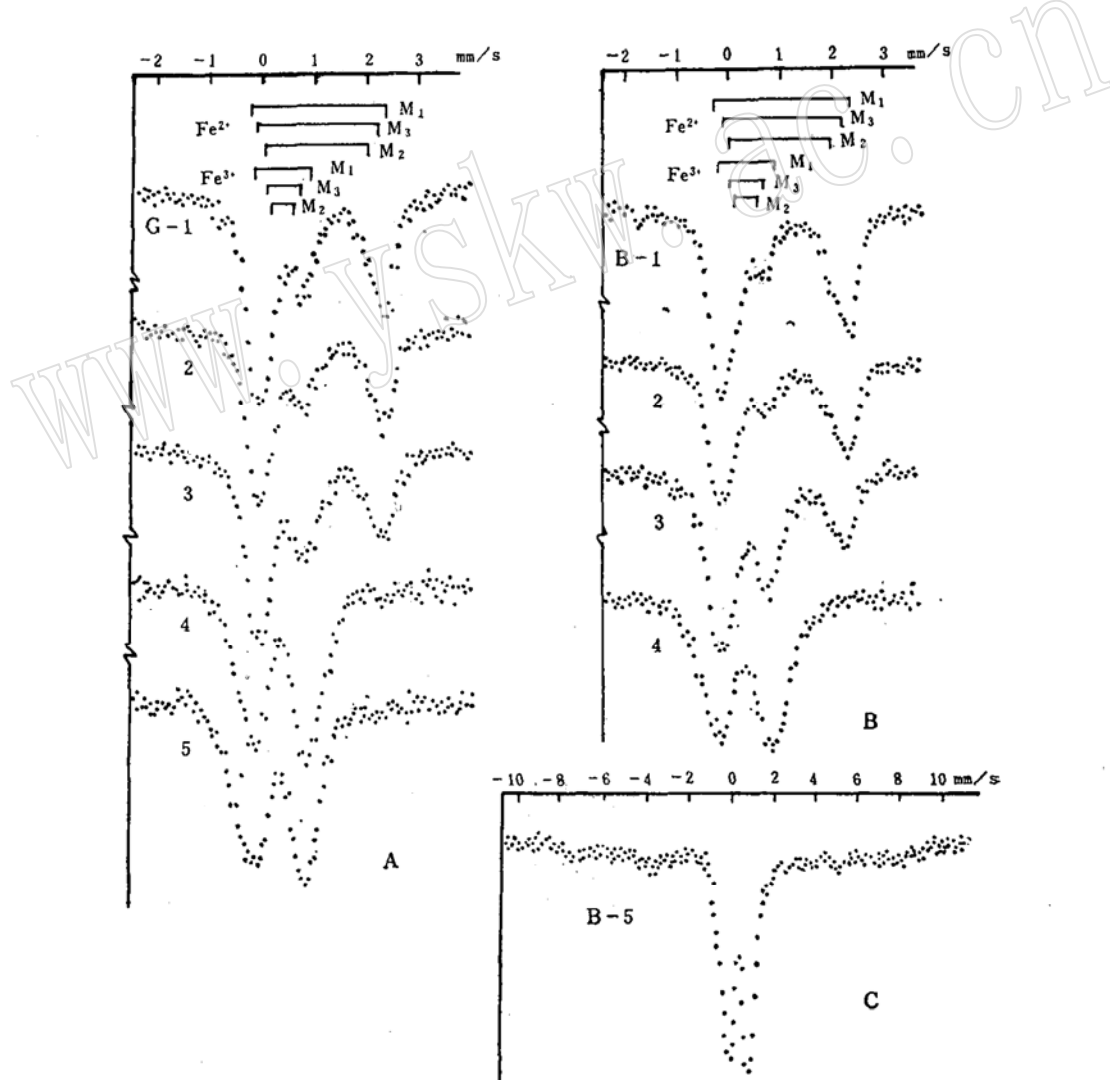


图 4 G、B 钙角闪石的穆斯堡尔谱  
Fig. 4. Mössbauer spectra of calcic amphiboles of G and B specimens.

表 3 G、B 角闪石穆斯堡尔谱参数之一

Table 3. Mössbauer parameter of calcic amphiboles of G and B specimens: I

样品	热处理温度	Fe <sup>2+</sup> (M <sub>1</sub> )			Fe <sup>2+</sup> (M <sub>3</sub> )			Fe <sup>2+</sup> (M <sub>2</sub> )			Fe <sup>3+</sup> (M <sub>1</sub> )			Fe <sup>3+</sup> (M <sub>3</sub> )			Fe <sup>3+</sup> (M <sub>2</sub> )				
		I. S	Q. S	WH	A%	I. S	Q. S	WH	A%	I. S	Q. S	WH	A%	I. S	Q. S	WH	A%	I. S	Q. S	WH	A%
G-1	原样	1.11	2.63	0.36	27.1	1.11	2.35	0.36	14.9	1.04	1.99	0.39	15.8	0.41	1.05	0.48	16.8	0.43	0.62	0.42	8.0
G-2	600°C	1.12	2.63	0.34	24.3	1.11	2.35	0.32	14.6	1.08	2.02	0.37	15.8	0.41	1.07	0.47	18.1	0.45	0.72	0.43	8.6
G-3	800°C	1.12	2.63	0.34	20.4	1.10	2.28	0.34	10.8	1.06	1.99	0.39	12.5	0.43	1.18	0.53	22.4	0.42	0.73	0.49	11.8
G-4	1000°C					1.17	2.45	0.21	2.1					0.37	1.52	0.44	36.5	0.38	1.03	0.41	25.0
G-5	1200°C													0.36	0.81	0.49	48.0	0.30	1.30	0.55	52.0
B-1	原样	1.13	2.68	0.34	31.4	1.09	2.37	0.34	20.2	1.09	1.88	0.34	18.9	0.43	0.79	0.64	14.6	0.32	0.88	0.34	4.7
B-2	600°C	1.13	2.68	0.34	29.4	1.11	2.40	0.34	20.9	1.11	1.88	0.34	18.6	0.42	0.79	0.59	15.3	0.36	0.82	0.34	4.7
B-3	800°C	1.09	2.72	0.34	14.7	1.09	2.35	0.36	12.9	1.09	1.85	0.34	8.8	0.35	1.01	0.45	30.6	0.41	0.79	0.55	19.8
B-4	1000°C													0.37	1.43	0.58	44.9	0.39	0.94	0.53	30.1
B-5*	1200°C	A位:I.S=0.51,Hi=477,A=14.1%;B位:I.S=0.32,Hi=411,A=16.6%;								0.36	0.72	0.43	37.1	0.32	1.32	0.51	32.2				3.0

注: 表中 I. S: 同质异能位移, 以  $\alpha$ -Fe 为速度坐标; Q. S: 四极分裂, WH: 缝宽。单位均为 mm/s;

A%: 面积比。Hi: 内磁场, 单位为千高斯。B-5 谱中, 由内磁场产生的参数见括号内所示。

I. S: Isomer shift, in mm/s relative to Fe metal; Q. S: quadrupole splitting, in mm/s;  
WH, full width at half peak height, in mm/s; A%: area; Hi: hyperfine field, in Koc.

表 4 G、B 角闪石穆斯堡尔谱参数之二

Table 4. Mössbauer parameter of calcic amphiboles of G and B specimens: II

样品	热处理温度	Fe <sup>2+</sup> (M <sub>1</sub> )			Fe <sup>2+</sup> (M <sub>3</sub> )			Fe <sup>2+</sup> (M <sub>2</sub> )			Fe <sup>3+</sup> (M <sub>1</sub> , <sup>2,3</sup> )			Fe <sup>3+</sup> (M <sub>1</sub> , <sup>2,3</sup> )			Fe <sup>3+</sup> (M <sub>2</sub> )				
		I. S	Q. S	WH	A%	I. S	Q. S	WH	A%	I. S	Q. S	WH	A%	I. S	Q. S	WH	A%	I. S	Q. S	WH	A%
G-1	原样	1.12	2.63	0.36	26.6	1.10	2.35	0.35	14.9	1.04	1.98	0.37	13.9	0.42	0.74	0.62	44.6	0.9			
G-2	600°C	1.13	2.60	0.36	24.8	1.09	2.35	0.33	14.3	1.08	1.98	0.34	13.8	0.41	0.77	0.62	47.1	1.4			
G-3	800°C	1.12	2.63	0.33	19.0	1.11	2.30	0.34	10.9	1.08	1.99	0.36	11.7	0.41	0.86	0.66	58.3	0.9			
G-4	1000°C					1.19	2.38	0.13	2.3					0.38	1.11	0.61	97.7	2.3			
G-5	1200°C													0.33	1.05	0.64	100.0	2.3			
B-1	原样	1.13	2.66	0.34	30.9	1.09	2.35	0.34	20.6	1.08	1.86	0.38	21.2	0.36	0.71	0.61	27.2	1.2			
B-2	600°C	1.13	2.67	0.34	29.5	1.09	2.35	0.34	21.4	1.09	1.85	0.34	17.8	0.40	0.76	0.53	31.3	1.2			
B-3	800°C	1.10	2.72	0.34	13.0	1.09	2.35	0.40	16.2	1.09	1.85	0.34	10.1	0.37	0.87	0.55	60.7	1.4			
B-4	1000°C													0.38	1.09	0.81	100.0	2.5			

### (三) 结果和讨论

#### 1. 钙角闪石的穆斯堡尔参数与温度的关系:

各个热处理温度下的穆斯堡尔谱参数列于表3(按 $\text{Fe}^{3+}$ 分派于M<sub>1</sub>、M<sub>2</sub>和M<sub>3</sub>位的拟合方案)和表4(按 $\text{Fe}^{3+}$ 不具体分派于M<sub>1</sub>、M<sub>2</sub>和M<sub>3</sub>位的拟合方案)。从表中参数值可以看出,从原样至600°C的温度范围,各种穆斯堡尔谱参数的变化不大。600°至800°C范围,明显看到各位置上的 $\text{Fe}^{2+}$ 占位率减少, $\text{Fe}^{3+}$ 占位率增加。而且各位置上的 $\text{Fe}^{2+}$ 减少量与相同位置上 $\text{Fe}^{3+}$ 的增加量近于相等。800°至1000°之间, $\text{Fe}^{2+}$ 的减少和 $\text{Fe}^{3+}$ 的增加速度大大加快。至1000°C时,B-4的 $\text{Fe}^{2+}$ 已全部消失;G-4样品的 $\text{Fe}^{2+}$ 也为数不多了。到1200°C时, $\text{Fe}^{2+}$ 则全部氧化为 $\text{Fe}^{3+}$ 。

其它穆斯堡尔谱参数,如同质异能位移和四极分裂值,随热处理温度的升高,也显出一定规律的变化,其变化如表3、表4和图5、图6所示。各位置上 $\text{Fe}^{2+}$ 的同质异能位移和四极分裂随温度的变化不大,变化的规律性不十分明显。而对于 $\text{Fe}^{3+}$ 来说,各位置上的四极分裂值随温度的升高而显著增加(见图6和表4)。由于 $\text{Fe}^{3+}$ 核处的电场梯度主要来自配位多面体和周围点阵的贡献,因此可以认为当热处理温度升高时,各位置上 $\text{Fe}^{3+}$ 四极分裂的增加主要是由配位多面体歪曲程度增加造成的。

根据B-5出现的六线谱,通过磁铁矿A、B位穆斯堡尔参数的计算,得知B角闪石升温至1200°C以后,有少量 $\text{Fe}^{2+}$ 回升的迹象,这与碱性角闪石石棉在加热至1200°C以上时所

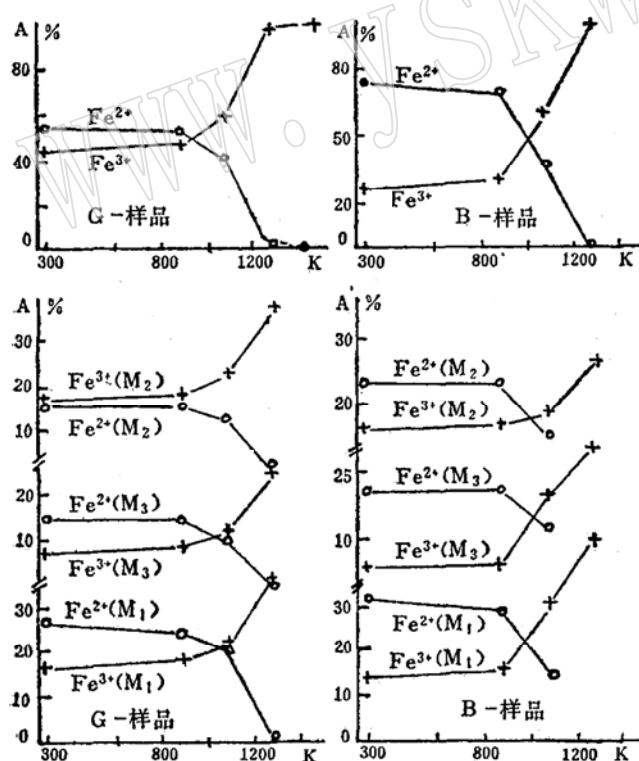


图5 G、B角闪石 $\text{Fe}^{2+}$ 、 $\text{Fe}^{3+}$ 占位率随温度的变化  
Fig. 5. Variation of occupancy ratio of  $\text{Fe}^{2+}$  and  $\text{Fe}^{3+}$  with the change of temperature in G and B specimens.

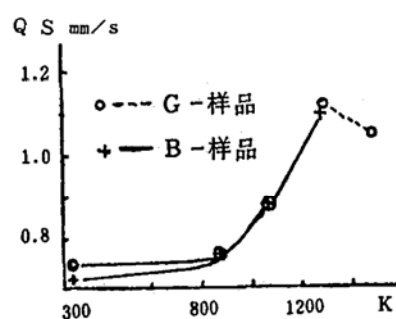


图6 G、B角闪石中 $\text{Fe}^{3+}$ 的Q.S.与热处理温度的关系

Fig. 6. Relation of quadrupole splittings of  $\text{Fe}^{3+}$  with heat treatmental temperature in calcic amphiboles of G and B specimens.

出现的特点一致<sup>[1]</sup>。

### 2. 穆斯堡尔谱参数与钙角闪石中某些组分之间的关系:

前人资料表明, 钙角闪石的成份与穆斯堡尔参数之间具有一定关系, 现结合本文两个钙角闪石的资料对比如下:

(1) 将本文两个钙角闪石的 $\text{Al}_2\text{O}_3$ 与 $Q.S_{M1}$ 值投于图7中, 它们均投于前人的迴归直线附近, 表明 $\text{Al}_2\text{O}_3$ 与 $Q.S_{M1}$ 呈负相关关系, 这与陈光远等人<sup>[3]</sup>的研究结果一致。

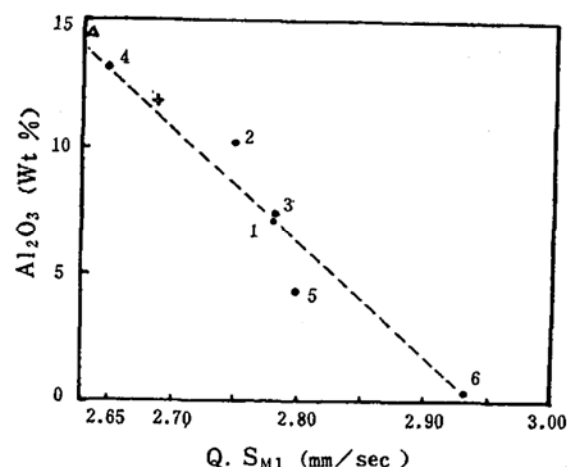


图7 钙角闪石中 $\text{Al}_2\text{O}_3$ 与 $M_1$ 位 $\text{Fe}^{2+}$ 四极分裂的关系图<sup>[3]</sup>

1、2、4、6为弓长岭钙角闪石; 3、5为石碌普通角闪石  
 △为G-1, +为B-1钙角闪石  
 Fig. 7. Relation of  $\text{Al}_2\text{O}_3$  and Q.S of  
 $\text{Fe}^{2+}$  in  $M_1$  site of calcic amphiboles.  
 1, 2, 4, 6: calcic amphiboles at Gong Chang Ling.  
 3, 5: hornblende at Shi Lu.  
 △: G-1 calcic amphibole. +: B-1 calcic amphibole.

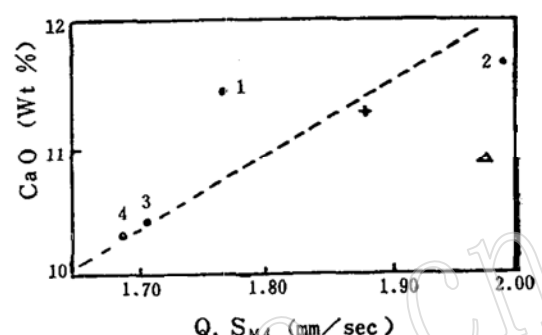


图8 钙角闪石中 $\text{CaO}$ 与 $M_2$ 位 $\text{Fe}^{2+}$ 四极分裂的关系图<sup>[3]</sup>

1、2、3、4为弓长岭钙角闪石  
 △为G-1, +为B-1钙角闪石

Fig. 8 Relation of  $\text{CaO}$  and Q.S of  
 $\text{Fe}^{2+}$  in  $M_2$  site of calcic amphiboles.  
 1, 2, 3, 4: calcic amphiboles at Gong  
 chang Ling.  
 △: G-1 calcic amphibole.  
 +: B-1 calcic amphibole.

(2) B角闪石中 $\text{CaO}$ 与 $Q.S_{M2}$ 值投点于图8的迴归直线附近, 这也与陈光远等人的结果一致, 而G角闪石的投点偏离迴归直线较远。

### 3. 相转变的分析:

通过加热处理样品的穆斯堡尔谱形的变化情况, 可以了解该样品矿物相的转变过程。

从原样至600℃以至800℃, 穆斯堡尔谱形基本相似, 穆斯堡尔谱参数的变化有延续性。但随热处理温度的升高, 达800℃以上时,  $\text{Fe}^{2+}$ 氧化为 $\text{Fe}^{3+}$ 的速度加快, 但此时晶体结构并未改变, 仍属角闪石结构。

当B角闪石加热至1000℃、G角闪石至1200℃时, 其穆斯堡尔谱形变化较大, 谱中 $\text{Fe}^{3+}$ 的同质异能位移和四极分裂有突变迹象, 其线宽也明显加大。对于B-5(1200℃)的谱中还出现了六线谱。这现象可解释为: 1000℃以上, 角闪石晶体结构开始“解体”, 出现了新的矿物相, 如磁铁矿、辉石等。这与前述X光分析的结果一致。至于高温处理样品的穆斯堡尔谱 $\text{Fe}^{3+}$ 峰的线宽加大的解释: 一是在晶胞未解体之前受温度增高的影响; 二是在1000℃以上, 原角闪石结构开始“解体”, 逐渐出现新的矿物相, 新矿物相的穆斯堡尔谱叠加于钙角闪石 $\text{Fe}^{3+}$ 谱图之上, 造成了线宽的加大。

#### 4. 用穆斯堡尔谱方法对晶体化学式进行调整:

根据前人对透闪石、阳起石、铁闪石等的电子能谱、光学谱和穆斯堡尔谱的研究<sup>(8)(9)(10)</sup>, 表明M<sub>4</sub>位有Fe<sup>2+</sup>存在。本文的两个镁绿钙闪石在M<sub>4</sub>位是否也有Fe<sup>2+</sup>存在? 笔者认为这是有可能的。第一, 根据湿化学分析法所确定的晶体化学式中, 它们在M<sub>4</sub>位有Fe<sup>2+</sup>。第二, 如果M<sub>4</sub>位有较大的畸变(即类似于斜方辉石的M<sub>2</sub>位)<sup>(8)</sup>, Fe<sup>2+</sup>进入M<sub>4</sub>位的可能性就比较大。在湿化学分析和红外光谱中, 可以看出G—1、B—1的化学成份比较复杂, 阳离子替代比较频繁, Si—O键的畸变比较大。第三, 从穆斯堡尔谱谱形特征来看, 谱形的Fe<sup>2+</sup>高速峰内侧出现小隆起, 坡度变缓, 说明可能存在一对四极分裂约为1.5~1.8mm/S的内双峰, 这就属于M<sub>4</sub>位的Fe<sup>2+</sup>。因而, 笔者尝试按有Fe<sup>2+</sup>(M<sub>4</sub>)的方案进行穆斯堡尔谱拟合, 结果见表5。由表5可知, 此内双峰的I.S为1.06—1.10mm/S, Q.S为1.67和1.65mm/S, 并且X<sup>2</sup>值可进一步下降, 说明这两个样品中M<sub>4</sub>位的Fe<sup>2+</sup>大约占总铁的4—6%。按此拟合结果对其晶体化学式进行调整, 修正如下:

表 5. G-1、B-1钙角闪石的穆斯堡尔谱参数之三

Table 5. Mössbauer parameters of calcic amphiboles of G-1 and B-1: III

样 品	Fe <sup>2+</sup>															
	M <sub>1</sub>				M <sub>3</sub>				M <sub>2</sub>				M <sub>4</sub>			
	I. S	Q. S	W H	A%	I. S	Q. S	W H	A%	I. S	Q. S	W H	A%	I. S	Q. S	W H	A%
G—1	1.11	2.65	0.36	25.4	1.11	2.39	0.34	13.2	1.10	2.07	0.36	13.2	1.06	1.67	0.34	5.6
B—1	1.13	2.65	0.34	30.9	1.09	2.38	0.34	18.8	1.09	1.93	0.34	16.5	1.10	1.65	0.33	3.9

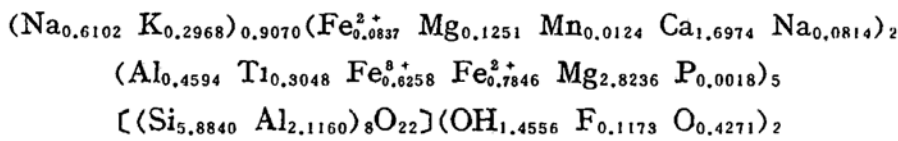
  

样 品	Fe <sup>3+</sup>											
	M <sub>1</sub>				M <sub>3</sub>				M <sub>2</sub>			
	I. S	Q. S	W H	A%	I. S	Q. S	W H	A%	I. S	Q. S	W H	A%
G—1	0.41	1.07	0.45	16.9	0.38	0.75	0.40	7.5	0.40	0.60	0.42	18.2
B—1	0.41	0.77	0.47	14.5	0.32	0.79	0.49	5.4	0.37	0.57	0.48	9.9

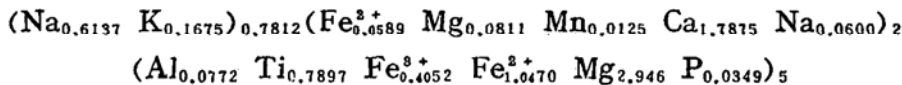
注: 各参数说明同表4。

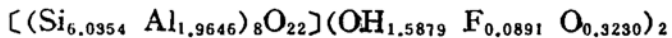
根据角闪石的晶体结构和晶体化学资料, 铁离子基本上只进入六配位的八面体空隙, 即M<sub>1</sub>、M<sub>2</sub>、M<sub>3</sub>和M<sub>4</sub>中。对普通角闪石来说, Fe<sup>2+</sup>优先进入的顺序为M<sub>1</sub>和M<sub>3</sub>, 然后为M<sub>2</sub>, 在B位(M<sub>4</sub>)存在空隙时, Fe<sup>2+</sup>也可以有少量进入。M<sub>4</sub>位空隙最大, 基本上由大离子Ca<sup>2+</sup>、Mn<sup>2+</sup>、K<sup>+</sup>、Na<sup>+</sup>等填充, 而Mg<sup>2+</sup>、Fe<sup>2+</sup>也可以进入尚未填满的M<sub>4</sub>位置。据此, 按穆斯堡尔谱拟合所得Fe<sup>2+</sup>和Fe<sup>3+</sup>的占位结果进行计算, 得到这两个样品的晶体化学式如下:

G—1的晶体化学式



B—1的晶体化学式





笔者认为通过穆斯堡尔谱学方法进行调整后的晶体化学式中，在不同价态铁离子的计算方面，比化学分析法计算的数值可能更符合实际情况。这是由于穆斯堡尔谱学方法不象湿化学分析法那样存在氧化、还原等影响因素所可能带来的误差。

### 5. $\text{Fe}^{2+}$ 在角闪石结构中的占位：

本区钙角闪石中 $\text{Fe}^{2+}$ 的占位见表5、表6，从表中可看出 $\text{Fe}^{2+}$ 优先占据 $M_1$ 位置，其次为 $M_1$ 位置， $M_2$ ， $M_4$ 位居后。其占位顺序为 $M_3 > M_1 > M_2 > M_4$ 。 $\text{Fe}^{2+}$ 含量较大的样品(如B-1)其 $M_1$ 、 $M_3$ 、 $M_5$ 位的 $\text{Fe}^{2+}$ 也较大，而 $M_4$ 位的 $\text{Fe}^{2+}$ 反而减少。

表 6 G-1、B-1钙角闪石中 $\text{Fe}^{2+}$ 的占位表

Table 6. Occupancies of  $\text{Fe}^{2+}$  in calcic amphiboles of G-1 and B-1.

样 品	$\frac{\text{Fe}^{2+}}{\text{Fe} + \text{Mg}}$	单位分子式 中 $\text{Fe}^{2+}$ 数	$[\text{Fe}^{2+}_{M_1}]$	$[\text{Fe}^{2+}_{M_2}]$	$[\text{Fe}^{2+}_{M_3}]$	$[\text{Fe}^{2+}_{M_4}]$
(1)	(2)	(3)	(4)	(5)	(6)	(7)
G-1	0.1954	0.8683	0.1921	0.0998	0.1997	0.0424
B-1	0.2436	1.1059	0.2437	0.1483	0.2603	0.0308

注：(4) = (3) ×  $M_1$ 位  $\text{Fe}^{2+}$ 与总  $\text{Fe}^{2+}$ 之比 / 2 ---- 平均一个  $M_1$ 位上的  $\text{Fe}^{2+}$ 数；

(5) = (3) ×  $M_2$ 位  $\text{Fe}^{2+}$ 与总  $\text{Fe}^{2+}$ 之比 / 2 ---- 平均一个  $M_2$ 位上的  $\text{Fe}^{2+}$ 数；

(6) = (3) ×  $M_3$ 位  $\text{Fe}^{2+}$ 与总  $\text{Fe}^{2+}$ 之比 -----  $M_3$ 位上的  $\text{Fe}^{2+}$ 数；

(7) = (3) ×  $M_4$ 位上  $\text{Fe}^{2+}$ 与总  $\text{Fe}^{2+}$ 之比 / 2 ---- 平均一个  $M_4$ 位上的  $\text{Fe}^{2+}$ 数。

(4) = (3) × ratio of  $\text{Fe}^{2+}$  in  $M_1$  with total  $\text{Fe}^{2+}$  / 2 -----

average number of  $\text{Fe}^{2+}$  in one  $M_1$  site.

(5) = (3) × ratio of  $\text{Fe}^{2+}$  in  $M_2$  with total  $\text{Fe}^{2+}$  / 2 -----

average number of  $\text{Fe}^{2+}$  in one  $M_2$  site.

(6) = (3) × ratio of  $\text{Fe}^{2+}$  in  $M_3$  with total  $\text{Fe}^{2+}$  -----

number of  $\text{Fe}^{2+}$  in  $M_3$  site.

(7) = (3) × ratio of  $\text{Fe}^{2+}$  in  $M_4$  with total  $\text{Fe}^{2+}$  / 2 -----

average number of  $\text{Fe}^{2+}$  in one  $M_4$  site.

### 6. 钙角闪石的红外光谱特征：

国内外不少学者，曾应用红外光谱来查明角闪石的成分和结构变化。但因角闪石族矿物的化学成分和晶体结构复杂多样，给光谱的测量和谱线的解释带来一定的困难。图3是两个镁绿钙角闪石(G-1、B-1)实测的红外吸收光谱，从谱图来看，有关部分大致可分为三部分，现稍加说明如下：第一部分为 $510\text{cm}^{-1}$ 以下的吸收峰，这里有 $510\text{cm}^{-1}$ 和 $460-465\text{cm}^{-1}$ 的吸收峰，其归属尚不清楚。第二部分为 $550\text{cm}^{-1}$ 至 $1200\text{cm}^{-1}$ 范围的吸收带，它具有钙角闪石族红外光谱的特征<sup>[12]</sup>。其中 $670-690\text{cm}^{-1}$ 波带归属为O—Al<sup>V</sup>键的变形振动，B-1的吸收带比G-1的加宽约 $10\text{cm}^{-1}$ ，这可能与Al<sup>V</sup>的阳离子数的减少有关(B-1的Al<sup>V</sup>阳离子数为0.0772，G-1的Al<sup>V</sup>阳离子数为0.4594)。 $750\text{cm}^{-1}$ 处的吸收带一般认为是S<sup>I</sup>—O键的变形振动。将这两个钙角闪石的红外光谱与其它角闪石红外谱图比较<sup>[13]</sup>，此吸收峰强度明显减少； $670-690\text{cm}^{-1}$ 和 $750\text{cm}^{-1}$ 吸收峰随热处理温度的升高而变缓以至消失。笔者认为这个谱带是镁绿钙闪石有别于其他角闪石红外谱带的特征谱带之一，而且这个谱带与Si—O键合的畸变和阳离子替代有关。正如文献<sup>[14]</sup>指出，[SiO<sub>4</sub>]离子团聚合而形

成复杂的链状阴离子对谱带有重要影响，在 $550\text{--}750\text{cm}^{-1}$ 区域内由于Si—O—Si键合的畸变出现一个新的谱带。至于 $900\text{--}1100\text{cm}^{-1}$ 吸收带，是与Si—O伸缩振动有关，这是一般硅酸盐矿物都有的吸收带。在B—1、G—1谱图中，此吸收带加宽和变缓了。第三部分为 $3600\text{cm}^{-1}$ 范围的吸收带。这部分吸收带是与OH伸缩振动有关。但在G—1、B—1谱图中，此吸收峰很弱，经放大后稍可分辨出 $3677\text{cm}^{-1}$ 附近的吸收峰（相当于普通角闪石 $3672\text{cm}^{-1}$ 附近的吸收峰），而其它峰分辨不很明显，所以没有利用它来论讨M<sub>1</sub>、M<sub>3</sub>之间的阳离子分布。

### 三、结 论

1. 从穆斯堡尔谱谱形及其参数变化，得到G、B钙角闪石在不同温度下氧化情况的信息：600℃以下氧化缓慢，600°—800℃氧化甚为剧烈。不同结晶结构位置上Fe<sup>2+</sup>的氧化速度有所不同。不同成因、成份和结构的样品，其Fe<sup>2+</sup>全部氧化成Fe<sup>3+</sup>的温度也不同，B角闪石在1000℃以下，G角闪石则超过1000℃才全部氧化。角闪石结构“解体”的温度也有区别，B样品出现新相的温度较低（在1000°—1200℃之间），而G样品则超过1200℃。此结果与X光分析结果以及它们的地质产状相吻合。

2. 钙角闪石在高温时角闪石结构“解体”后出现的新相有磁铁矿和辉石类矿物。

3. 随热处理温度的升高，角闪石各晶体结构位置上Fe<sup>2+</sup>占位率减少，而Fe<sup>3+</sup>占位率相应地增加。

4. Fe<sup>2+</sup>在各结构位置的占据顺序为：先M<sub>3</sub>、M<sub>1</sub>，后M<sub>2</sub>，占据M<sub>4</sub>的很少。

5. G、B钙角闪石的Al<sub>2</sub>O<sub>3</sub>（%）与Q·S<sub>M1</sub>值之间有明显的负相关关系，且与前人结果一致。

6. 用穆斯堡尔谱方法确定Fe<sup>2+</sup>、Fe<sup>3+</sup>的占位和含量比例，对由湿化学分析法计算的角闪石晶体化学式进行调整，可以得到与样品的晶体化学实际情况更为接近的晶体化学式。

7. 从G、B钙角闪石的红外吸收光谱中都出现几个表征钙角闪石特征的强吸收峰，特别在 $670\text{--}690\text{cm}^{-1}$ 和 $750\text{cm}^{-1}$ 处的吸收峰，吸收峰加宽变缓可作为镁绿钙闪石有别于其它各类角闪石红外谱带的特征谱带之一。

在完成本文工作中，得到武汉地质学院北京研究生部物理教研室矿物物理组的热情支持，周新民副教授提供了广东麒麟角闪石样品，在此一并致谢。

### 参 考 文 献

- [1] 周新民等，1982年，我国东南沿海碱性玄武岩质岩石中辉石和角闪石巨晶。矿物学报，第2卷，第1期。
- [2] Leake, B. E. 1978. Nomenclature of amphiboles. Amer. Mineral. V. 63, P.1023—P1053.
- [3] 陈光远等，1984年，弓长岭铁矿成因矿物学专辑。矿物岩石，第四卷，第2期，第74页—108页。
- [4] 应育甫等，1982年，兰石棉穆斯堡尔效应的研究。矿物学报，第2卷，第2期。
- [5] 朱自尊等，1983年，镁钠闪石石棉的热处理研究。矿物学报，第3卷，第1期，第27页—32页。
- [6] Goldman, D. S. 1978. A reevaluation of the Mössbauer spectroscopy of calcic amphiboles. Amer. Mineral. V. 64. P.109—P118.
- [7] Bancroft, G. M. et. al. 1975. A Mössbauer study of coexisting hornblendes and biotites: Quantitative Fe<sup>3+</sup>/Fe<sup>2+</sup> ratios. Amer. Mineral. V. 60. P265—P272.
- [8] Goldman, D. S. 1977. The identification of Fe<sup>2+</sup> in the M(4) site of calcic amphiboles. V. 62.

3—4. P205—216.

[9] Goldman, D. S. 1982. The identification of  $\text{Fe}^{2+}$  in the M4 site of calcic amphiboles: reply. V. 67. P340—P342.

[10] Aldridge, L. P. et al. 1982. The identification of  $\text{Fe}^{2+}$  in the M4 site of calcic amphiboles: discussion. V. 67. P335—P339.

[11] 周珣若等, 1980年, 碱性角闪石石棉光性及热光性的研究。《国际交流地质学术论文集》。

[12] Куковский, Е. Г. 1970. Инфракрасные спектры Амфиболов. «Конституция и свойства минералов» 4. 81.

[13] 彭文世等, 1982年, 矿物红外光谱图集, 科学出版社。

[14] Farmer, V. C. 1975. The infrared spectra of minerals. (中译本P242—P243)

## Mossbauer Spectroscopy and Crystal Chemistry of Calcium Amphiboles after heat treatment under different temperatures

Huang Wenyi, Zhou Xunruo, Jian Jiaji, Bai Zhimin

### Abstract

For investigation of the crystal chemistry, oxygenation and facies changes of calcium amphibole, two specimens from Guangdong and Beijing (named G- and B-specimen, respectively) were studied with Mossbauer spectroscopy. Each specimen was divided into five groups, four of them were heat treated under  $600^\circ$ ,  $800^\circ$ ,  $1000^\circ$ ,  $1200^\circ\text{C}$ , respectively, and left one untreated. The results of Mossbauer measurements indicated that the occupancy ratio of  $\text{Fe}^{2+}$  and  $\text{Fe}^{3+}$  and oxygenation of  $\text{Fe}^{2+}$  change slowly with temperature below  $600^\circ\text{C}$ , the oxygenation of  $\text{Fe}^{2+}$  increases sharply between  $600^\circ\text{C}$  to  $800^\circ\text{C}$ , and the temperatures of perfect oxygenation of  $\text{Fe}^{2+}$  to  $\text{Fe}^{3+}$  for these specimens are near  $1000^\circ\text{C}$ . During  $1000^\circ\text{C}$  to  $1200^\circ\text{C}$ , the facies changes take place in the specimens. The new facies are magnetite and pyroxene mineral etc. For calcium amphiboles formed in different geological occurrence, the ranges of perfect oxygenation temperature are somewhat different. For the B-specimen formed in lower temperature, perfect oxygenation and facies change take place at  $<1000^\circ\text{C}$ , for G-specimen, at  $>1000^\circ\text{C}$ . These results are coincident with X-ray powder diffraction analyses.